

### III-32 $K_0$ -圧密を受けた粘土のせん断特性について

京都大学防災研究所 正員〇八木 則男  
京都大学工学部 学生員 西川 一夫

#### 1. まえがき

基礎地盤の安定解析や地盤下解析にはその地盤を構成していゝ土の圧縮特性やせん断特性を知る必要がある。一般に地盤は側方に変位を許されない  $K_0$ -圧密を受けている。したがって、実際の問題を考える場合、室内実験において  $K_0$ -圧密を受けた土のせん断特性を研究することは重要な問題である。この種の問題は異方性圧密を受けた土のせん断特性も含めて以前より数多く研究されてきた。地盤に荷重が作用すると主働的に変形する部分と受働的に変形する部分があるが、ここでは三軸試験機によって特殊な  $K_0$ -圧密を行ない、その供試体が主働的変形および受働的変形を受けた場合のせん断特性について報告する。

#### 2. 実験装置、試料

三軸試験機によって圧密非排水せん断試験を行なう。供試体は円柱形である。圧密は供試体の側方方向の変位を許さないものと軸方向の変位を許さないものを行ない、各々  $K_{0r}$ -圧密、 $K_{0a}$ -圧密とし、その後のせん断試験を各々  $K_{0r}U$  試験、 $K_{0a}U$  試験と呼ぶ。(詳しくは参考文献①を参照)

せん断時にかけた間かき水圧の測定にはストレンジャー・シティアの水圧計を行い、記録計に自動させた。作用せた Back Pressure は  $1.0 \text{ kg/cm}^2$  である。実験はすべて軸方向圧密であり、エキステンション試験は行ない、 $\epsilon_a = 0.0303 \text{ cm/min}$  である。試料は表-1 に示すとくである。

表-1

	sample	PI	LL(%)	G	$w$ (%)	$K_{0r}$	$K_{0a}$
No.1	76.1	110.2	2.56	57.3	62.2		
No.2	45.5	74.1	2.62	49.0	---		
No.3	19.7	38.6	2.63	---	29.8		
No.4	---	---	---	---	42.2		

#### 3. 実験結果と考察

$K_0$ -圧密後せん断を行なうが、間かき水圧の測定ミスなどで十分なデータが得られなかつたので、ここで主に定性的な性質を記述し、定量的な扱いは且下実験中であるので、講義時に述べる。

図-1 に No.1 試料の  $K_{0r}U$ 、 $K_{0a}U$  試験の結果と主応力差 ( $\sigma_a - \sigma_r$ ) と軸方向ひずみ  $\epsilon_a$ 、せん断中に発生した間かき水圧  $U$  の関係を示した。なお初期の有効側圧は  $2.0 \text{ kg/cm}^2$  である。 $(\sigma_a - \sigma_r) \sim \epsilon_a$  関係では以前より報告されていゝように圧密中に受けたせん断ひずみと同じ方向にひずみを与える場合は  $(\sigma_a - \sigma_r)$  が最大値にかけた破壊ひずみは  $K_{0a}U$  のときよりも小である。これは圧密中にかけた  $K_0$ -圧密ではせん断ひずみを受けた場合のひずみであります。そこで、圧密中に受けたせん断ひずみを考慮して破壊ひずみを求めます。

$K_{0r}U$ 、 $K_{0a}U$  両試験に成功したのは No.1 試料だけであるのでそれについて説明する。計算の方法はつきのように行なう。ここで軸方向に圧密を受けた場合生ずるせん断ひずみを正とする。圧密

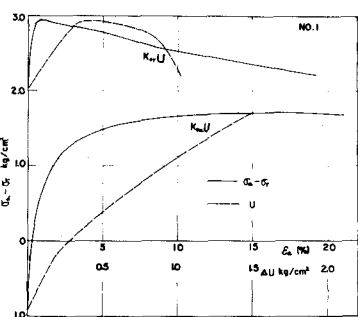


図-1

時にみけるせん断ひずみ $\gamma$ または圧密による体積変化を $(\Delta V/V)_c$ とすれば、Kor-圧密の場合、 $\gamma_c = \frac{2}{3}(\Delta V/V)_c$ となる。これは体積変化が等方的に生じた場合の軸方向ひずみ $\varepsilon_{ax} = \frac{1}{3}(\Delta V/V)_c$ となるヒシ、残りの $\varepsilon_{as} = \frac{2}{3}(\Delta V/V)_c$ がせん断ひずみ $\gamma$ であるとしたところに基づいてい。同様に Ko-圧密の場合、 $\gamma_c = \frac{1}{3}(\Delta V/V)_c$ となる。Kor-圧密中に生じた全体積変化は約27%であり、 $\gamma_c = 18\%$ である。すなはし、KorU試験の $(\sigma_a - \sigma_r)$ の最大値における $\varepsilon_a = 0.8\%$ 、 $\gamma$ はせん断ひずみ $\gamma_s = 1.2\%$ となる。中立に圧密開始より $(\sigma_a - \sigma_r)$ の最大値に至るまでの全せん断ひずみ $\gamma = \gamma_c + \gamma_s = 19.2\%$ となる。一方、Ko-圧密時の $(\Delta V/V)_c = 23.6\%$ であり、 $\gamma_c = -7.9\%$ となる。すなはし $\varepsilon_a = 16\%$ 、 $\gamma_s = 24\%$ となり、中立に $\gamma = 16.1\%$ である。したがって両者はかなり近い値となる。

つまに $\Delta U$ について調べると、KorUでは初期に $\Delta U$ は平均有効主応力 $\sigma'_a$ 一定となるようにならぬが、Ko-圧密では初期に $\Delta U$ は $\sigma'_a$ 増加していようである。このようなら Ko-圧密を受けた粘土の $(\sigma_a - \sigma_r)$ の最大値は大きくなる。また Ko-圧密では両者では $A_f = \Delta U / \Delta(\sigma_a - \sigma_r)$ について調べたのが表-2である。データ一覧は少しが PIが大きくなるなど、すなはし KorUより Ko-圧密の方が $A_f$ は大きくなれる、といふ。

せん断中の有効応力経路を図-2に示した。KorUでは $(\sigma_a - \sigma_r)$ の最大値が $\sigma'_a/\sigma'_r$ の最大値よりかなり前に現われるが、Ko-圧密では両者はほぼ一致してい。そして KorU、Ko-圧密ともに正規状態であるので、 $C' = 0$

として、 $(\sigma_a - \sigma_r)$ および $\sigma'_a/\sigma'_r$ の最大値における $\gamma$ を求めるといふ。KorUの場合も Ko-圧密よりも Ko-圧密の方が大きくなる。このことは Ladd<sup>2)</sup>の行なった異方向圧密と等方圧密後のせん断試験において、 $(\sigma_a - \sigma_r)$ の最大値における $\gamma$ は後者の方が大きくなる、 $\sigma'_a/\sigma'_r$ の最大値における $\gamma$ は一致するといふ結果とは異なり、といふようである。このことを更に詳しく調べるために、 $(\sigma_a - \sigma_r)/2$ と $(\sigma'_a + \sigma'_r)/2$ の関係を $(\sigma_a - \sigma_r)$ の最大値、 $\sigma'_a/\sigma'_r$ の最大値に対して示したもののが図-3である。KorU、Ko-圧密いずれも正規状態であるので両者のプロットを結んで有効応力による強度常数を調べると $(\sigma_a - \sigma_r)$ 、 $\sigma'_a/\sigma'_r$ のいずれか最大の場合も $C'$ はゼロでなく、前駆の場合 $0.4 \text{ kg/cm}^2$ 、後駆の場合 $0.23 \text{ kg/cm}^2$ 程度となる。したがって、正規状態では $C' = 0$ とすれば、Ko-圧密結果の方が大きな強度を与える。これは圧密による粘土構造の異方性によるものと想われる。

#### 4 あとがき

データーが十分でなく、満足の検討ができないのが、これが、Ko-圧密を受けた粘土が主働的変形と受働的変形をする場合でなければ、運動が異なる。これは地盤の安定解析上重要な問題となるので、目下 $\sigma'_a/\sigma'_r$ （圧密圧力）を変えて場合の実験を続行中であり、講演時より結果を報告したい。

#### 参考文献

- 1) 八木則男・西川一夫 “Ko-圧密に関する3つの実験と考察” 土木学会第26回年次学術講演会講演集第3部 昭和46.10.
- 2) C.C. Ladd “Stress-Strain Behaviour of Anisotropically Consolidated Clay during Undrained Shear” 6th Int. Conf. S.M.F.E. Vol.1

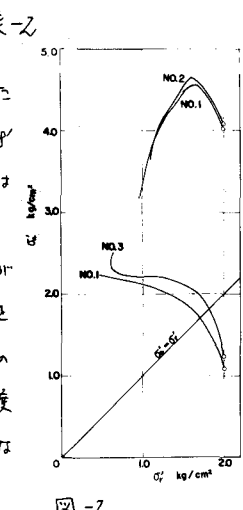


図-2

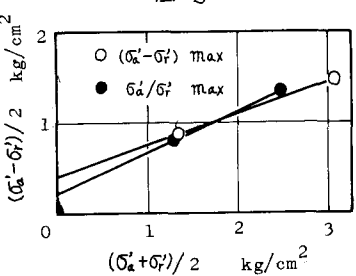


図-3